

護岸前面の局所洗掘機構に関する実験的研究
An Experimental Study on the Mechanism of Local Scour
in front of Revetments in River Channels

石井千万太郎*・板倉忠興**・黒木幹男***
By Chimataro ISHII, Tadaoki ITAKURA and Mikio KUROKI

Some model experiments were carried out in a laboratory flume in order to investigate the mechanisms of local flow and scour at a flow convergent part along revetments in river channels, and effects of the revetment slope on these mechanisms. Experimental results revealed the presences of a surface flow, a vortex flow at a flow convergent point and two spiral flows at its both side, and that these flows contribute to the formation of a local scour respectively in correspondence with its strength.

Keywords: flow convergent point, local flow, local scour, revetment slope

1. まえがき

河道水衝部には主として側方侵食である河岸侵食防止のため護岸が施工されているが、その前面では水流の衝突により下方侵食の局所洗掘を生じる。この局所洗掘は水衝部護岸の根入れの深さを決める上で重要な要素として考えなければならない。著者らはすでにこの護岸前面の局所洗掘を「噴流の衝突による壁面底部の局所洗掘」とモデル化して垂直壁面の場合について実験を行ない、局所洗掘孔の諸元の水理特性について定量化している。¹⁾ これに対し本研究は、数値あるいは物理モデルを確立することを目的として、局所洗掘を生じさせる水衝部の流れの構造との関連を明らかにするとともに、実際の護岸は傾斜護岸であることを考慮し、その護岸こう配の効果をモデル実験により検討したものである。実験では水衝部の局所流とその洗掘過程の観測を行ない、垂直護岸と異なる機構を明らかにするとともに、局所洗掘孔の最大洗掘深と形状の測定を行ない、護岸こう配効果を定量化している。

* 正会員 工博 秋田大学助教授 鉱山学部土木環境工学科
(〒010 秋田市手形学園町 1-1)

** 正会員 工博 北海道大学教授 工学部土木工学科
(〒060 札幌市北区北13条西8丁目)

*** 正会員 工博 北海道大学助教授 工学部土木工学科
(〒060 札幌市北区北13条西8丁目)

2. 流れと局所洗掘の定義

本実験は図-1の模式図に示すように、噴流の衝突によって生じる壁面底部の局所洗掘孔の最大洗掘深 Z_s とその形状 (L_s, B_s, B_{zs}, \dots) を、壁面角 ϕ 、噴流流速 v 、噴流衝突角 θ 、噴流口距離 L 、噴流幅 B をパラメータとして実験的に求め、その変化特性について検討している。この他にこの現象を支配する水理量として

路床砂粒径 d 、噴流の水深 h をとり、次式の関係を想定している。

$$Z_s/h, L_s/h, B_s/h, B_{zs}/h, \dots = F(\phi, N_s/N_{sc}, \theta, L/h_\theta, B/h_\theta) \dots \dots (1)$$

ここに、 L_s : 洗掘孔長、 B_s : 洗掘孔幅、 B_{zs} : 最大洗掘深点の側壁からの距離、 h : 噴流出口での水深、 h_θ : 側壁がない場合の水深、 $N_s = v/\sqrt{(sgd)}$: sediment数、 s : 路床砂の水中比重、 g : 重力加速度、 N_{sc} : 移動限界sediment数

N_s は噴流流出口での流速 v 、水深 h を用いて計算している。

3. 実験および結果

実験水槽は、幅 1.6m、長さ 0.71m、深さ 0.15m の合板製水槽で、噴流を当てる壁面は回転できるようにした可変こう配壁面としている。水槽中には 0.1m の厚さに水平に砂を敷き均して実験を行なっている。その他の実験装置および実験方法については参考文献1)に記している。実験結果を以下に示す。

3.1 局所流と洗掘の過程

噴流の水衝部の流れを染料の注入で可視化して観測するとともに、実験開始の平坦床からの路床の変化を観測している。動的洗掘の場合 ($N_s/N_{sc}=1.23$) の状況を A ($\phi=90^\circ, \theta=90^\circ$)、B ($\phi=45^\circ, \theta=90^\circ$)、C ($\phi=45^\circ, \theta=45^\circ$) の 3 ケースについて図-2に模式的に示した。A ケースの初期の段階では、表面流は水衝点の両側に左右対称に分かれて流れるが、その下層の壁面底部の隅角部にはそれぞれ上部で壁面に、下部でその反対方向に向かう螺旋流をなし、壁面下部の砂を巻き上げ、その斜め前面に堆積させている。その洗掘孔は水衝点に小さな、その左右に螺旋流に対応した長い洗掘孔ができるが、洗掘孔の成長により一つとなり、当初は洗掘が小さかった水衝点でも渦による洗掘が進行して、最終段階の平衡状態では最大洗掘深を示す。これに対し、壁面を 45° に傾けた B ケースでは、傾斜壁面へ這い上った後、左右に分流する表面流層が A ケースより厚くなり、相対的にその下層の中心軸が壁面と路床面の境界上に位置する螺旋流層は薄くなる。この螺旋流の流下速度は A ケースより速くなり、その長さも長くなっているが、これには壁面沿いの表面流の増大が寄与しているものと思われる。一方、洗掘孔と堆積部の形成過程は A ケースと同じであるが、螺旋流の大きさが小さくなつたため洗掘深と洗掘幅は小さくなつたが、螺旋流の長さと左右への流下速度が増大したことに対応して、洗掘砂の移動は壁面沿いの方向成分が多くなり、洗掘孔は左右に長くなっている。これに対応して堆積部は壁面に近くなりその長さも長くなっている。

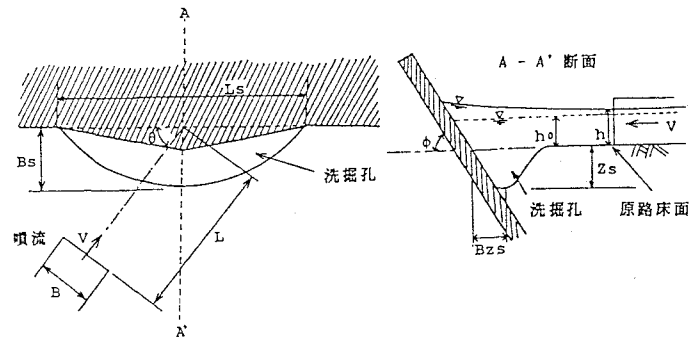


図-1 噴流の衝突による洗掘の模式図

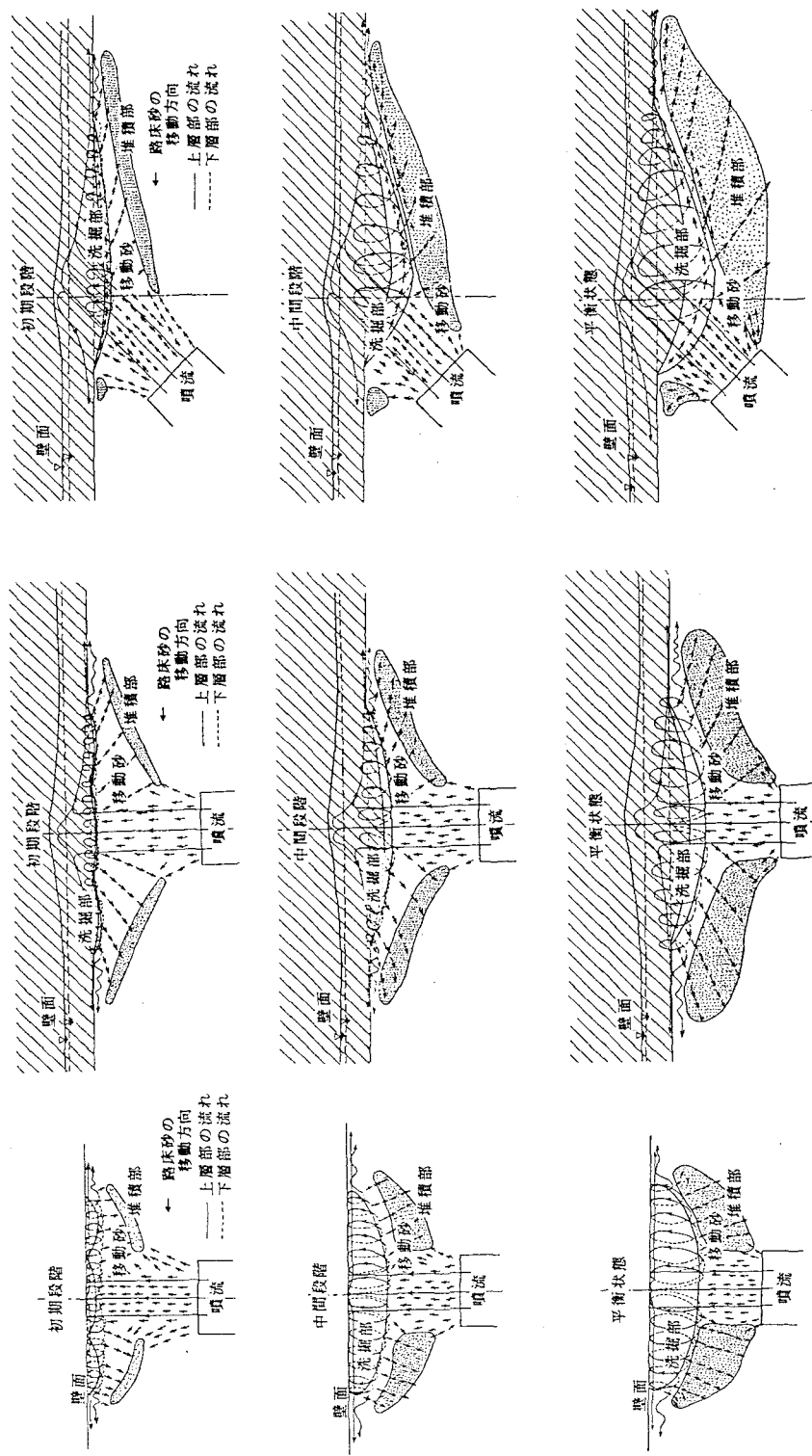


図-2-a 洗掘過程 (A ケース : $\phi=90^\circ$ 、 $\theta=90^\circ$)

図-2-b 洗掘過程 (B ケース : $\phi=45^\circ$ 、 $\theta=90^\circ$)

図-2-c 洗掘過程 (C ケース : $\phi=45^\circ$ 、 $\theta=45^\circ$)

Cケースは噴流の入射角により、A, Bケースの過程がどのように変化するかを $\phi=45^\circ$, $\theta=45^\circ$ の場合を例として検討したものである。噴流の入射角を直角から傾けると、左右への分流量が異なるようになるが、傾斜壁面へ這い上がった後流下してくる表面流はそれを加速している。 $\theta=45^\circ$ の場合、螺旋流は分流量が大きい方にだけあり、その螺旋流の方向に伸びた洗掘孔が形成されている。その最大洗掘深は水衝点の渦によるものではなくこの片方へ集中した螺旋流によるものである。堆積部は洗掘孔の前面に形成されるが、水衝点の反対側に噴流によって運ばれた砂が堆積した小さな堆積部を生じている。

3.2 最大洗掘深

図-3は噴流が壁面に直角に衝突する場合 ($\theta=90^\circ$) で、壁面こう配を垂直から減少させたときの最大洗掘深の変化を示したものである。図の Z_{sc90} は壁面が垂直の場合の最大洗掘深である。ほぼ $\phi=45^\circ$ までの壁面こう配の減少は、動的洗掘 ($N_s \geq 1$) と静的洗掘 ($N_s < 1$) は一致して直線的に垂直壁面の場合のほぼ2割まで最大洗掘深を減少させる。しかしながら、 45° 以下の緩こう配では静的洗掘ではそのまま直線的に減少してほぼ $\phi=30^\circ$ でゼロとなるのに対し、動的洗掘では壁面への這い上がり流れの壁面と移動床面の不連続部としての洗掘を生じるため、 Z_s/Z_{sc90} はゼロとはならず 0.1程度に漸近している。

3.3 噴流入射角による最大洗掘深の変化

垂直壁面の場合、噴流入射角 θ による最大洗掘深 Z_s の変化は sediment 数 N_s (掃流力) によって異なることが知られている。¹⁾ 図-4に示したように N_s が小さい場合、噴流の入射角 θ が減少すると最大洗掘深 Z_s が減少するが、 N_s が増加するにつれ減少の仕方が緩慢になり、ついには最大洗掘深が増大し、その後に減少する変化を示す。図中の K_a は $(Z_s/h)/(Z_s/h)_{90}$ であり、 $(Z_s/h)_{90}$ は $\theta = 90^\circ$ の Z_s/h である。これらの現象は 3.1 に記述した局所流と洗掘の過程からつぎのように説明できるであろう。洗掘は、水衝点から左右に分離する螺旋流によるものと極めて局所的な水衝点の渦によるものとからなる。噴流入射角が減少すると前者は一方の螺旋流の強度の増大のため増大するが、後者は水衝点水位上昇量の減少による渦の強度減少のため減少する。流れが速い (N_s が大きい) 場合、後者が噴流の入射角が減少しても変わらない一方、前者が大きくなるため、最大洗掘深が増大するのである。

本研究では、 $\phi=45^\circ$ の傾斜壁面について実験を行ない、その結果も図-4に示している。垂直壁面の結果と対比すると、いずれの N_s に対しても大きな数値を与えている。これは 3.1 に記述したように、傾斜壁面へ這い上がった後流下してくる表面流が一方への螺旋流の片寄りを大きくしている効果と考えられる。

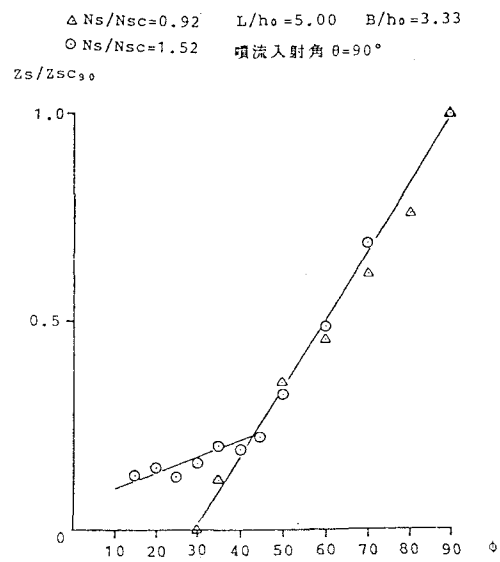


図-3 最大洗掘深に対する壁面傾斜角の効果

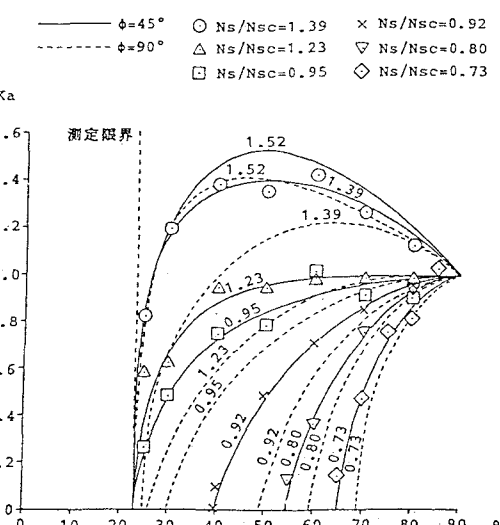


図-4 最大洗掘深に対する噴流入射角の影響

3.4 洗掘孔形状

図-5は噴流入射角 θ が 90° で動的洗掘($N_s/N_{sc}=1.39$)の場合の壁面傾斜角 ϕ による洗掘孔の形状を示す $Z/Z_s=0.0$ と 0.5 の線を壁面方向Xを洗掘孔長 L_s 、壁面に垂直方向Yを洗掘幅 B_s で規準化して示している。大まかではあるが、ほぼ相似形を保っていると言える。なお、 $\phi=90^\circ$ では最大洗掘深のY方向位置は傾斜壁面と洗掘路床面の境界にある。図-6は壁面傾斜角 ϕ が 45° で動的洗掘($N_s/N_{sc}=1.52$)と静的洗掘($N_s/N_{sc}=0.95$)の場合について噴流入射角 θ を変化させたときの洗掘孔形状を示す $Z/Z_s=0.0$ の変化を示している。垂直壁面の場合は動的、静的洗掘ともに左右対称な相似形を示し、その洗掘が水衝点付近の局所性の強い現象であることを示していたが¹⁾、 $\phi=45^\circ$ では、静的洗掘の場合には同様な傾向を示すが、動的洗掘の場合には分流量が多い方向に偏った形状となる。これは3.1に記述したCケースの螺旋流の卓越と図-4の入射角による最大洗掘深の増加現象を裏付けるものである。

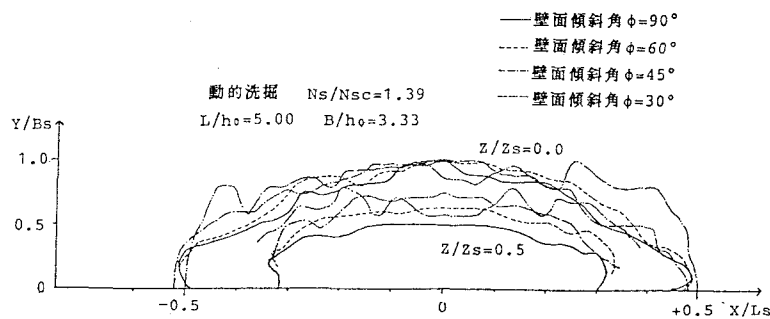


図-5 局所洗掘孔の形状に対する壁面こう配の効果

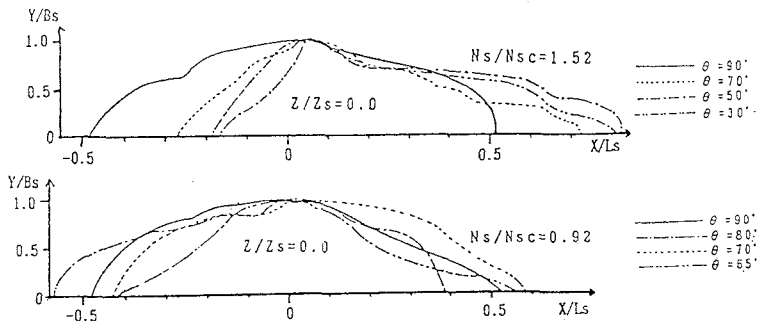


図-6 傾斜壁面の場合の局所洗掘孔の形状に対する噴流入射角の影響

4. おわりに

本研究の流れは表面流とその下層の水衝点の渦流、水衝点から両側に流れる螺旋流から構成されている。護岸こう配の減少は流れの入射角が直角の場合、水衝点の渦流の強度低下による洗掘深の減少効果があるが、入射角が減少すると護岸こう配の減少は一方の優勢な螺旋流をさらに強める働きをして洗掘深の増加効果を示す。今後、これらの流れを組み合わせた水衝部の局所洗掘機構のモデル化を行ない、洗掘深の予測手法の確立に勤めたい。

<謝辞>

実験とデータ整理に当って、秋田大学鉱山学部卒業論文生の渋谷靖久氏（平成3年度）、佐藤義明氏（平成4年度）にご協力いただいたことをここに記し、感謝の意を表明する。

<参考文献>

- 1) 石井千万太郎・板倉忠興：噴流の衝突による壁面底部の局所洗掘に関する実験的研究と砂州河道における護岸前面の局所洗掘への応用、水工学論文集、第36巻、1992年2月。